

砂～鋼板間の摩擦せん断試験結果に関する一検討

正会員 山肩邦男^{・1} 同 小椋仁志^{・2}
同 伊藤淳志^{・3} 同 ○加藤史彦^{・4}

1.はじめに 筆者らは、鉛直荷重を受ける杭の沈下性状を評価する目的で、中型の単純せん断試験機を用いた砂の単純せん断試験¹⁾および砂～モルタル板間の摩擦せん断試験²⁾を実施してきた。昨年度その一環として、砂～鋼板間の摩擦せん断試験を実施し、文献³⁾にその結果を報告した。本報では同試験結果と文献^{1), 2)}との比較および本試験での摩擦せん断応力のピーク点に関する検討結果を報告する。

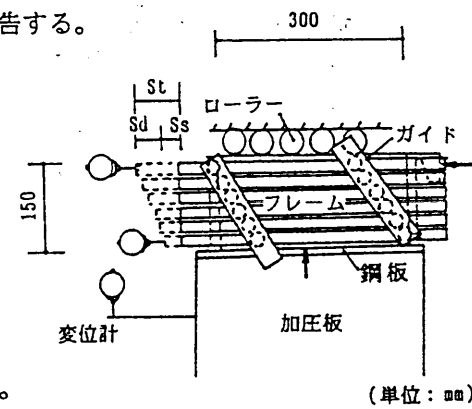
2. 実験概要 図1に示す実験装置は文献²⁾と同形式であり、摩擦材を鋼板とした点が異なる。せん断箱は文献^{1), 2)}共通であり、内法300×200mm、厚さ20mmの鋼製フレームを6段積重ねている。供試体作製時には、厚さ5mmのスペーサーを各フレーム間に仮設するので、供試体高さは約150mmとなる。なお、文献¹⁾の単純せん断試験では最下段のフレームを加圧板に固定しており、文献²⁾の摩擦せん断試験では摩擦材としてモルタル板を使用した。

鋼板の表面粗さは最大高さ R_{max} (基準長さ $L = 8\text{mm}$) で定義した。 R_{max} は約5, 30, 60, 110, 180および $400\mu\text{m}$ の6種類となるよう製作したが、実際の R_{max} は最大で7%程度の差が生じている。

試料砂は気乾状態の淀川砂(粒径: $74\mu\text{m} \sim 1.2\text{mm}$)であって、文献^{1), 2)}の場合と併せて、その諸元を表1に示す。供試体は多重フルイ付きサンドライナーによって作製し、加圧後の相対密度 D_r が約60, 80および100%となるようにした。拘束圧 σ_n は1.0, 2.0, 3.0および 4.0kgf/cm^2 の4通りを設定した。ただし、供試体にはローラーなどの自重のため 0.074kgf/cm^2 がさらに加わっている。これらの R_{max} , D_r および σ_n を組み合わせて45種類の実験を行った。実験は、試料砂をセットし、設定拘束圧を15分間加えた後、拘束圧一定状態で、変位速度を毎分1mmとして行った。

3. 単純せん断試験と摩擦せん断試験

との比較 図2と図3は、 $\sigma_n = 2.0\text{kgf/cm}^2$ 、 D_r が60%と100%の場合の応力 τ ～せん断変形量 S_d 関係と垂直ひずみ ε_z ～ S_d 関係である。図中の○印は応力のピーク値 τ_p が発生する点を示す。文献¹⁾の単純せん断試験結果を併記したが、 $D_r = 60\%$ の場合、明確なピークが見られないため、 $S_d = 25\text{mm}$ での値を採用した。これらの図から次のことがわかる。摩擦せん断試験において、①ピーク後では S_d はほと

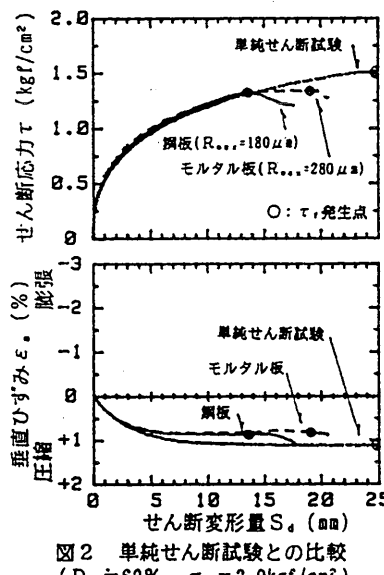
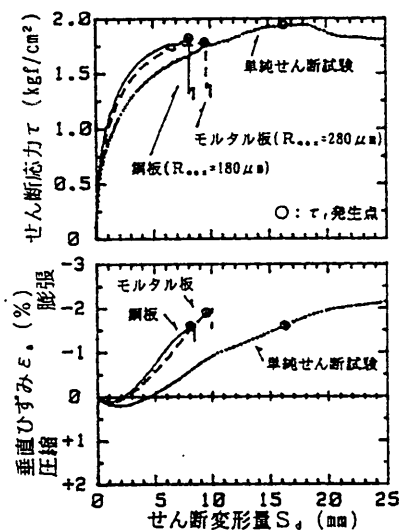


(単位: mm)

図1 実験装置

表1 淀川砂諸元

	本実験	文献 ^{1), 2)}
土粒子比重 Gs	2.64	2.64
最大干密度 ρ_{max}	1.018	1.034
最小干密度 ρ_{min}	0.606	0.610
平均粒径 $D_{50}(\text{mm})$	0.45	0.43
均等係数 U_c	2.48	2.54

図2 単純せん断試験との比較
($D_r = 60\%$, $\sigma_n = 2.0\text{kgf/cm}^2$)図3 単純せん断試験との比較
($D_r = 100\%$, $\sigma_n = 2.0\text{kgf/cm}^2$)

んど増加しない。②ピーク以前の関係は摩擦材の種類によらずほぼ一致している。つぎに、単純せん断試験と摩擦せん断試験を比較すると、③ τ_r/σ_n は単純せん断試験 > 摩擦せん断試験となる。④ $D_r = 60\%$ の場合、両者の曲線はほぼ一致しているが、 $D_r = 100\%$ ではピーク以前において摩擦せん断試験 > 単純せん断試験となる。⑤ $\varepsilon_s \sim S_{sr}$ 関係では、摩擦せん断試験が単純せん断試験よりも膨張側になっている。

4. ピーク点に関する考察

図4にピーク時摩擦せん断応力比 τ_r/σ_n とピーク時せん断ひずみ γ_r の関係を、図5に τ_r/σ_n とピーク時すべり変位量 S_{sr} の関係をそれぞれ示した。ただし、 S_{sr} は最下段フレーム下面と摩擦面との間の約4mmの砂層に上部の砂層と同じ γ_r が生じているとして補正している。図中の実線は、それぞれの D_r ごとに双曲線関数によって近似したものである。

図4において、 γ_r は約15% ($S_{sr} = 22\text{mm}$) 以下の範囲で変化すること、 R_{max} が大きい程また D_r が小さい程大きくなることなどがわかる。なお、ピークまでの $\tau_r/\sigma_n \sim \gamma_r$ 関係は R_{max} にかかわらず一致すること³⁾から、各近似曲線は $\tau_r/\sigma_n \sim \gamma_r$ 関係を表すと見てよい。図5では、ピーク発生時に S_{sr} は0とならないことがわかる。固体間の摩擦挙動では S_{sr} は0と考えられるが、砂のような粒状体の摩擦挙動では、わずかなすべり変位量を生じている。この S_{sr} の値は微小 ($S_{sr} < 5\text{mm}$) であるが、おおむね γ_r の場合と同様の傾向にある。

つぎに、 $\sigma_n = 2.0\text{kgf/cm}^2$ での τ_r/σ_n と R_{max} の関係を、両対数軸上にプロットし図6に示す。 $R_{max} \leq 110\mu\text{m}$ の範囲において、 R_{max} が大きくなると τ_r/σ_n は増加するが、 $R_{max} > 110\mu\text{m}$ の範囲では一定の値となる。また、 $R_{max} \leq 110\mu\text{m}$ の範囲では $D_r = 60\%$ と 80% はほぼ等しいものの、大局的にみて D_r が大きい程 τ_r/σ_n は増加している。これらより、 $R_{max} \leq 110\mu\text{m}$ の範囲では τ_r/σ_n は R_{max} および D_r の影響を受ける。そこで、 D_r および R_{max} を説明変数として重回帰分析を行い、次式を得た。

$$\tau_r/\sigma_n = \exp(0.378 \cdot \ln D_r + 0.250 \cdot \ln R_{max} - 3.17) \quad (\sigma_n = 2.0\text{kgf/cm}^2, \text{ 相関係数: } R=0.984)$$

$R_{max} > 110\mu\text{m}$ では、摩擦面近くの砂層ですべりが生じていると考えられるため、 τ_r/σ_n に対する R_{max} の影響がなくなり、 D_r の影響を顕著に受ける。

謝辞 本実験の実施にあたって、関西大学卒業研究生相田和也君、小森 崇君、田中勝志君に多大な御協力を頂いた。ここに記して謝意を表します。

¹⁾ 関西大学教授・工博 ²⁾ (株) 武智工務所・工博 ³⁾ 関西大学助手・工修 ⁴⁾ (株) 鴻池組技術研究所・工修

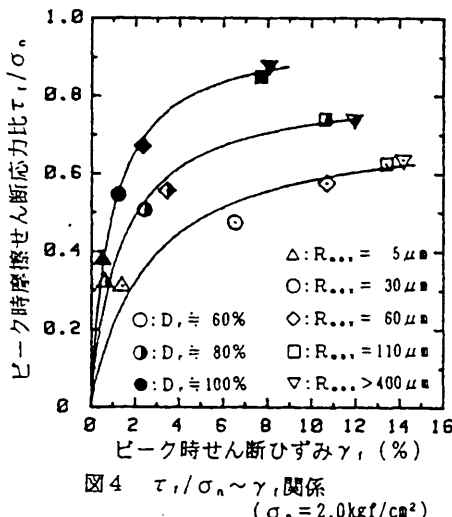


図4 $\tau_r/\sigma_n \sim \gamma_r$ 関係
($\sigma_n = 2.0\text{kgf/cm}^2$)

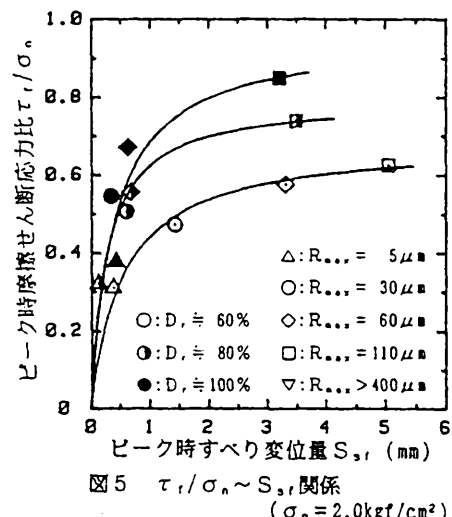


図5 $\tau_r/\sigma_n \sim S_{sr}$ 関係
($\sigma_n = 2.0\text{kgf/cm}^2$)

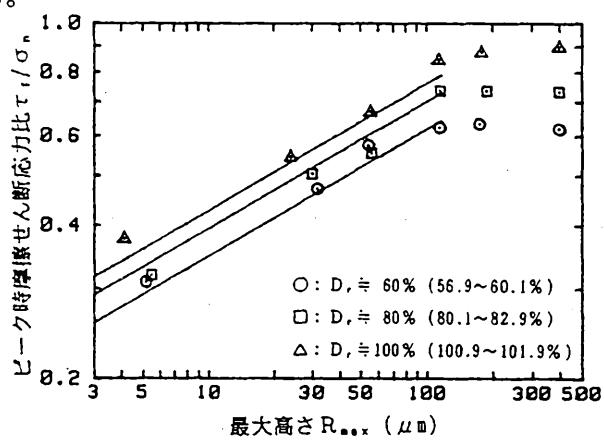


図6 $\tau_r/\sigma_n \sim R_{max}$ 関係 ($\sigma_n = 2.0\text{kgf/cm}^2$)

- [参考文献] 1) 山肩・伊藤・小椋・山田・加藤: 中型単純せん断試験機における砂の強度・変形特性, 第24回土質工学研究発表会, 1989.6 2) 山肩・小椋・伊藤・加藤: 中型単純せん断試験機を用いた砂～モルタル板間の摩擦試験, 日本建築学会大会学術講演講演概要集, 1989.10 3) 山肩・伊藤・小椋・加藤: 中型単純せん断試験機を用いた砂～鋼板間の摩擦試験（その1 砂の密度と表面粗さの影響）, 第25回土質工学研究発表会, 1990.6